

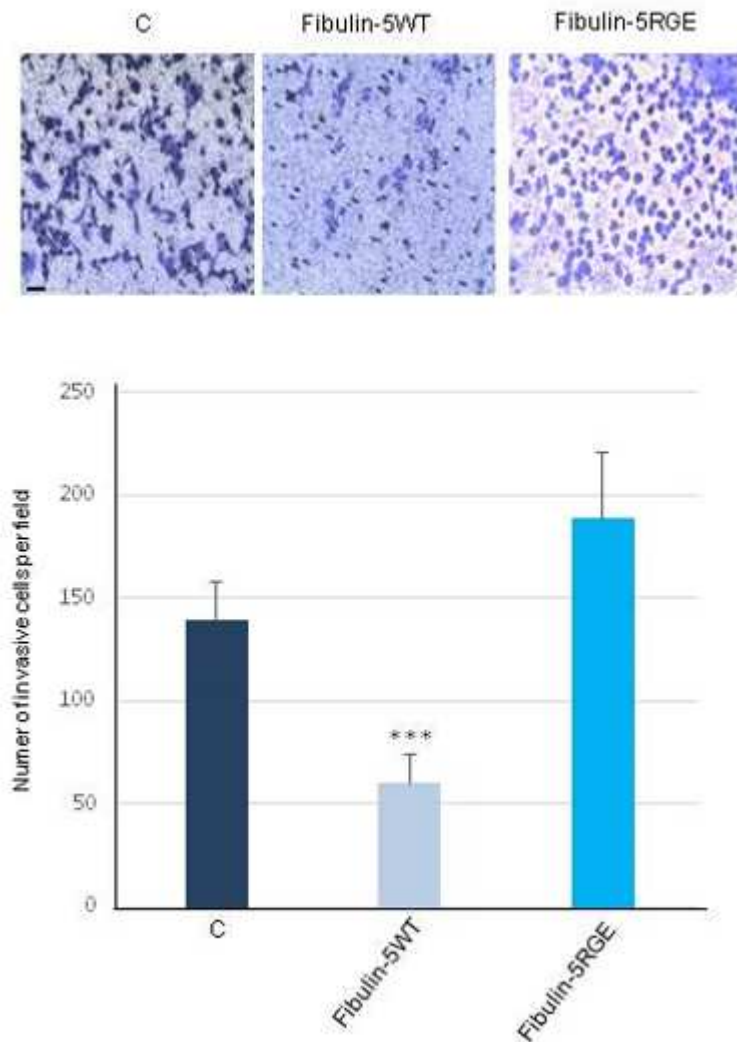
## **Supplemental Material**

# **Antitumor Potential of Fibulin-5 in Breast Cancer Cells Depends on Its RGD Cell Adhesion Motif**

Yamina Mohamedi<sup>a,b</sup> Tania Fontanil<sup>a,b,c</sup> Teresa Cobo<sup>c,d</sup> José A. Vega<sup>e,f</sup>  
Juan Luis Cobo<sup>e,g</sup> Marcos Pérez-Basterrechea<sup>h</sup> Juan Cobo<sup>c,d</sup>  
Álvaro J. Obaya<sup>b,i</sup> Santiago Cal<sup>a,b</sup>

<sup>a</sup>Departamento de Bioquímica y Biología Molecular, Universidad de Oviedo, Asturias, Spain, <sup>b</sup>Instituto Universitario de Oncología, IUOPA, Universidad de Oviedo, Asturias, Spain, <sup>c</sup>Instituto Asturiano de Odontología, Oviedo, Asturias, Spain, <sup>d</sup>Departamento de Cirugía y Especialidades Médico-Quirúrgicas, Universidad de Oviedo, Asturias, Spain, <sup>e</sup>Departamento de Morfología y Biología Celular, Facultad de Medicina, Universidad de Oviedo, Asturias, Spain, <sup>f</sup>Facultad de Ciencias de la Salud, Universidad Autónoma de Chile, Chile, <sup>g</sup>Servicio de Cirugía Maxilofacial, Hospital Universitario Central de Asturias (HUCA), Asturias, Spain, <sup>h</sup>Unidad de Terapia Celular y Medicina Regenerativa, Servicio de Hematología y Hemoterapia, Hospital Universitario Central de Asturias, Asturias, Spain, <sup>i</sup>Departamento de Biología Funcional, Área de Fisiología, Universidad de Oviedo, Asturias, Spain

Supplementary Fig. 1. Top, representative pictures showing invasive MDA-MB-231 cells as indicated using Matrigel-coated invasion chambers. Bottom, quantification of the number of invasive cells. Bar, 10  $\mu$ m.



Supplementary Fig. 2. Cell proliferation of the MDA-MB-231 cells employed in this work measured by MTT assay.  
Exogenous expression fibulin5 (Fibulin-WT) reduces the capacity of MDA-MB-231 to proliferate.

